

京都大学工学部

正会員 井上 順輝

正会員 森澤 真輔

学生会員 ○ 馬原 保典

1. 研究目的・方法

放射性廃棄物の最終処分の有効は一つの方法として地中処分が考えられる。地中処分は、土壤の持つ陽イオン交換能(数%)を利用したるものである。放射性核種が土壤中を移動する場合土壤とイオン交換吸着反応を行なはながら地下水が流れあるいは雨水の浸透から一定の割合で運ばれて移動する。⁽¹⁾そこで地中処分の安全評価を行なうには、地中で放射性核種の挙動を考える際に、地層を主に核種の動きが地下水の流れに支配される帶水層と、核種の動きが雨水の浸透に支配される通気層とに分けて考える必要がある。帶水層での研究は従来からよく進んでおり核種の挙動をかなり精度よく把握することが可能となってきたが、通気層での研究は、まだ不十分である。本研究では、まず通気層における核種移動に帶水層での核種移動の理論を修正適用する可能性を実験的に検討した。更にセメント固化体からの核種溶出実験を行ないその結果をセメント固化体を用いた場合の通気層における核種の挙動実験(予備実験)結果と比較検討した。

2. 予備実験(通気層模型地層内での核種移動実験)

帶水層における核種移動に関する理論として、著者の一人井上は水の動きをトレーサーを用いて調べ、式 $\frac{d\phi}{dt} = k_f = 1 + \frac{1-f}{f} \cdot \rho \cdot \mu$ (1) ($\phi = K_f T$; 核種の移動に関する時間尺度 T ; 地下水の移動に関する時間尺度 f ; 地層の空隙率 ϕ ; 土砂の密度 ρ ; 核種の分配係数)で定まる k_f 値を使用することによって予測できることを提案した。⁽²⁾この理論を通気層に修正適用するために地層内の飽和度 S を考慮することによって、帶水層の場合と同様に $\frac{d\phi}{dt} = k_{fr} = 1 + \frac{1-f}{fS} \cdot \rho \cdot \mu$ (2) を得ることができる。更に井上が与えた核種の一次元拡散理論にも飽和度 S を考慮して通気層に修正適用すると解析解として式

$$\frac{C_0}{C_0 - S} = \frac{1}{2} \operatorname{erfc} \left(\frac{x - v_t t / k_{fr}}{\sqrt{D_m} v_t / k_{fr}} \right) \quad (3)$$

($C_0 = K_f \rho \mu$; 土壤内飽和吸着濃度; v_t ; 土壤吸着濃度; D_m ; 核種の移動距離; t ; 水の浸透速度; k_{fr} の移動距離)

予備実験では、アクリル製フランジ管(内径 50mm, 高さ 30cm)

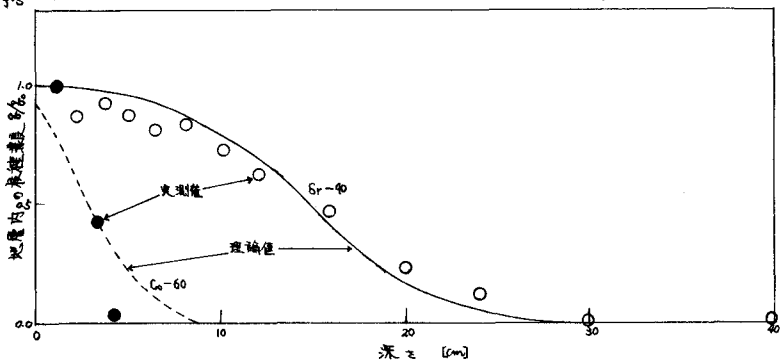


Fig. 1 Sr-90, Sr-60 の地層内濃度分布

を 5 段積みにして作成した通気層模型装置(密度 2.6[kg/m³]、厚 427[mm])を砂層高さ 185[mm]空隙率 41.7[%]となるよう充填した。模型装置上部より放射性核種 Sr-90, Sr-60 を含む水 204[ml]を降雨強度 0.7[mm/min]としてふらせた。降雨継続中の地層内の飽和度は 25.5%であった。水のトレーサーを用いて測定した拡散係数 D_m は 0.92[cm²/min]であり、使用した核種 Sr-90, Sr-60 の分配係数は各々 337[ml/g], 111[ml/g]であった。そこで Sr-90, Sr-60 の各々 45.8, 20.4 となる。Sr-90, Sr-60 の地層内濃度分布と理論曲線とを Fig. 1 に示す。理論曲線と実験値とは、ほぼ一致していることが分かる。

3. 通気層模型によるセメント固化体からの溶出実験

前述のアクリル製フランジ管を 6 段積みにして作成した通気層模型装置(密度 2.6[kg/m³]、厚 300[mm])を砂層高さ 94.5[mm]空隙率 42.0[%]となるよう充填し砂層表面から 2[cm]の深さで通気層模型装置断面の中心にセメント固化体を置設した。

セメント固化体の直徑は15 [cm]、高さ4 [cm]の円柱状で、水セメント比0.9でセメント固化体中には、 CaO [mol]と H_2O [mol]を含んでいる。この模型装置は上部より、スプローレーによって水道水を附として約800 [ml]連続的に水を供給し、地層表面に均一となるよう降らされた。実験期間中の平均降雨強度は50.1 [mm/h]、總降雨量は約2000 [mm]で、これは年間降雨量1500 [mm]の地域の約27年分に匹敵する。地層内の平均飽和度は38%である、地層内降雨浸透速度は0.7 [mm/min]であった。模型装置からの流出水の附は連続的で自動測定され、自然硬度および HCO_3^- 濃度は、一定時間ごとに測定した。降雨停止後地層内の砂を一定量サンプリングして、各砂中濃度を測定して、各の濃度分布を測定した。模型地層の縦断面における ^{90}Sr 濃度分布を図-2に示す。固化体と接した砂の ^{90}Sr 吸着濃度が約5000 [CPM/g]であることから分配係数の定義式 $K = C_a / C_{diss}$ (4) (ここで K : ^{90}Sr の土壤中飽和吸着濃度 C_a : 固化体表面での流出液中の ^{90}Sr 濃度 C_{diss} ; 不飽和時の分配係数値)を使つて固化体からの ^{90}Sr の流出濃度を推定すると $C_a = 3500$ [CPM/g]と予測される。

4. 結論

本研究を通じて得られた結論を整理すると次のようになる。

1)雨水が地層を構成する土砂ならびにセメント固化体と接触すると浸透水中の $\text{Ca} + \text{Mg}$ 濃度は上昇する。その上昇する割合は土砂のみの場合と比べてセメント固化体が存在する場合の方が大きくなることが分かった。 $\text{Ca} + \text{Mg}$ 濃度の上昇は雨水の浸透量の増減と共に増減をくり返し長時間の浸透の結果ほぼ一定値に漸近するものと思われる。このことは、長時間の雨水浸透によってセメント固化体が、やすからず浸食されていることを未吸しているとも受け取れる。浸透水の $\text{Ca} + \text{Mg}$ 濃度変化と分配係数との関係を考慮して核種移動理論を検討する必要がある。

2)模型透水層からの流出雨水の附変化を追跡すれば、その変化の様子は、浸透水中の $\text{Ca} + \text{Mg}$ 濃度変化と非常に密接な関係を持つ、というようと思われる。附変化は $\text{Ca} + \text{Mg}$ 濃度変化に先行して変化するようである。また附変化と三重水素水の固化体からの溶出曲線との間に何らかの相関がある。浸透雨水の附をチェックすることによって固化体からのトリチウムの溶出開始時期を捕えることができると思われる。附変化がトリチウムの流出に先行するにはトリチウムが固化体から溶出するのに時間がかかるからであろう。流出水の附変化の原因は雨水浸透水と充填砂との相互作用とセメント固化体からのアルカリ度の溶出しによるものと思われる。用いた砂は、ほぼ中性ないし弱アルカリ性の砂であるから、前者の原因による附上界は最大附82まで終り、主として浸透初期の附変化の原因となる。一方後者による附変動は、附84~87の範囲で生じ比較的長時間維持する。両変動は附を連続的に測定することによって比較的容易に識別できると思われる。今回の実験では、確認することができなかつたが浸透水の附変化は ^{90}Y の移動にも先行するものと思われる。放射能測定にくらべると附測定は比較的容易であるから、放射性物質の移動をモニターする場合に地下水の附変化に注意する方が有効であると考えられる。

3)固化体からの ^{90}Sr の溶出は非常に緩慢であり、どの模型地層内での反応とは、固化体周辺の浸透雨水の流れの方に向かって影響される。固化体から溶出した放射性核種の高濃度吸着帯は、固化体のごく近い部分に限られる。

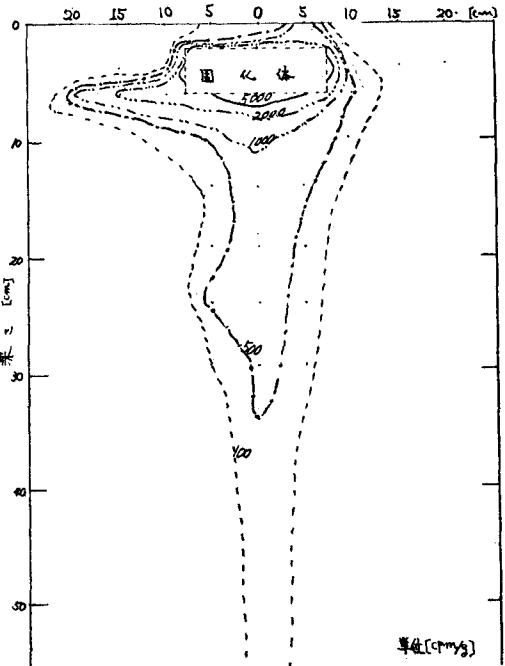


Fig-2 ^{90}Sr の縦断面濃度分布

参考文献 (1)井上輝輝; 放射性廃棄物の地中処分に関する基礎的研究 (京都大学学位論文 S45年)

(2)Y. Inoue & W.J. Kaufman; Health Physics, Vol. 9, pp 705~715 (1963)